

# γ 線照射에 依한 B 種絕緣材料의 電氣的 特性變化에 對한 實驗的 研究

論文
18~2~2

The Experimental study of  $\gamma$  ray irradiation effect  
on electrical properties of B-kind insulator.

千熙英\*·成英權\*\*·李德出\*\*\*  
(Hee Young Chun, Young Kwon Sung, Duck Chool Lee)

## 〔ABSTRACT〕

The main focus of this paper is on the study of the  $\gamma$  ray irradiation effect upon the electrical properties of a B-kind insulator which is one of the inorganic insulators.

The mica is so typical of the B kind insulators as to be selected for a sample.

DC, AC, and Impulse voltage is applied to the variable  $\gamma$  ray irradiated dose samples with the constant time duration and the time variable samples with the  $\gamma$  ray irradiated dose.

The dielectric breakdown voltage and dielectric constant are measured from the samples and we get the experimental data that the dielectric breakdown voltage variations are relatively large, but the dielectric constants are almost constant.

The above conclusion is useful for the selection and application of the inorganic insulators under the irradiation effects, and we expect that the conclusion can apply to not only B-kind insulators but also the inorganic insulators.

## 〔1〕序論

原子力を 平和的으로 利用하게 된 以來 發電 및 여러 分野에 原子力이 에너지 源으로 각광을 받게된지 이미 오래다. 우리나라에서는 今年 들어 原子力發電이 本格的 으로 計劃되어 가고 있으며 原子力發電의 核心인 原子爐(Nuclear Reactor)의 制御와 運轉에 대하여 必數한 여러 測定을 하기 為하여 豐은 電氣機器와 電子部品이 使用되므로 絶緣材料가 放射線場에 놓여질 機會가 많다. 그리하여 高에너지 放射線이 絶緣材料 特히 高分子材料에 미치는 影響이 関심거리가 되어 1952年 Charleshay\*氏가 Polyethylene에 對하여 原子爐內 照射에 依한 架橋反應이 일어나는 것을 發表한 以來 여러 사람에 依하여 이러한 研究가 進行되어 있다.

放射線照射에 依한 有機質絕緣材料의 電氣的特性 變化에 對하여는 여러 사람에 依하여 研究發表되어 왔으나 無機質絕緣에 對한 것은 別로 缺는 것 같다.

本論文에서는 絶緣材料中 無機質絕緣材料의 代表的인 mica paper 를 試料로 擇하여 放射線中에  $^{60}\text{Co}$ 에서의  $\gamma$

線을 이 試料에 照射한 後 材料에 對한 電氣的 特性의 變化를 理論的 및 實驗的으로 研究했다. 材料에 對한 放射線照射로부터 研究되는 分野는 放射線損傷과 放射線利用의 두 가지 이지만 本論文에서는 實驗的結果로부터 두 가지 모두 考察하였다. 電氣絕緣材料에 있어서 絶緣破壞特性은 가장 重要的 문제이므로 放射線의 照射效果가 絶緣耐力에 미치는 影響을 명백히 하고 特性變化를 확실히 求하기 為하여 交流電壓(60c/s), 直流電壓 및 衝擊電壓을 각각 印加하고 常溫常濕에서 絶緣破壞值를 求하였다. 그 結果 特性變化는 實驗方法에 따라 暫저히 變化하고 있으나 誘電率特性은 거의 一定한 狀態로써 別로 變化가 없는 사실을 알 수가 있다. 다음 章에 이들에 對한 實驗結果를 圖表로 圖示하고 特性變化에 對하여 상세한 考察을 하겠다.

## 〔2〕本論

### (1) 實驗方法

試料에 放射線을 照射시켜 電氣的特性變化에 對한 實驗의 結果値를 얻기 為하여 照射方法으로는 國產, 日產의 두 種類의 試料에 첫째로 照射時間은 1hr로 一定하게 하고 吸收線量率을  $2 \times 10^1, 2 \times 10^2, 2 \times 10^3, 2 \times 10^4, 2 \times$

\* 仁荷工科大學教授 千熙英  
\*\* 高大理工大學教授 成英權  
\*\*\* 仁荷工科大學講師 李德出

$10^5$  및  $2 \times 10^6$  rad 까지 변화시켰으며 实驗值의 正確性을期하기 為하여 각각 吸收線量率이 다른 한 種類의 試料에對하여 각각 5번씩의 实驗을 반복하였다. 둘째로는 一定한 吸收線量率(本實驗에서는  $2 \times 10^5$  rad로 擇하였음)에 照射時間 을 40, 80, 120, 160, 200 및 400hr로 變化시켰으며 正確性을 期하기 為하여 위와 같은 方法을 반복하였다. 照射시킨 試料에 對하여서는 交流電壓(60c/s), 直流電壓 및 衝擊電壓에 對한 絶緣破壞電壓와 誘電率測定을 하였다.

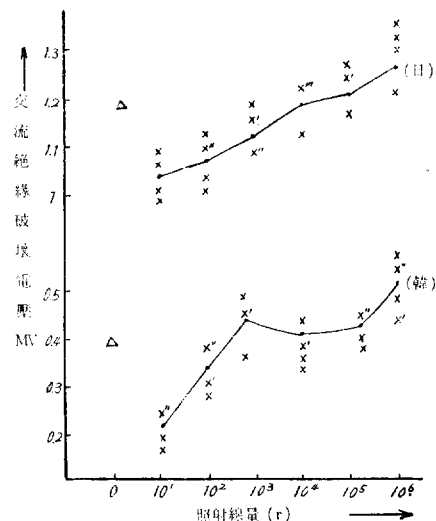


그림 1 交流絶縁破壊電圧과 照射線量의 관계

Fig. 1. Relation between AC breakdown voltage and  $\gamma$  ray irradiated dose

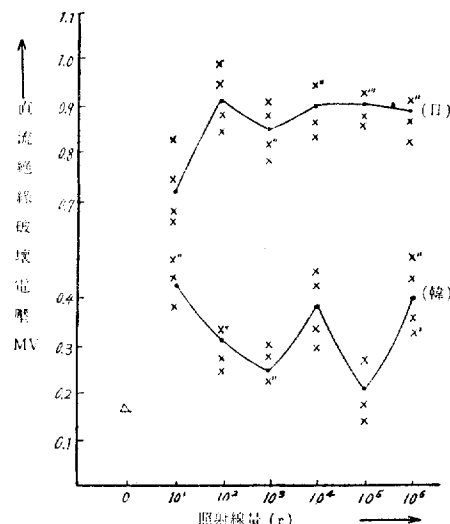


그림 2 直流絶縁破壊電圧과 照射線量의 關係

Fig. 2. Relation between DC breakdown voltage and  $\gamma$  ray irradiated dose

## (2) 實驗結果

日產 mica paper 와 韓國產 mica paper 각각 5枚를 合쳐 10枚에 對하여 一定한 照射時間 1hr에 同一한 吸收線量으로 照射시키고 이것에 對한 實驗을 한 다음 위와 같은 實驗方法으로 다른 試料에 吸收線量率만을 變化시켜 가며 60c/s 交流高電壓와 直流高電壓를 印加하여 絶緣破壞值을 plot 한 것이 그림 1과 그림 2이다. (但 試料의 두께 偏差를 考慮치 않음)

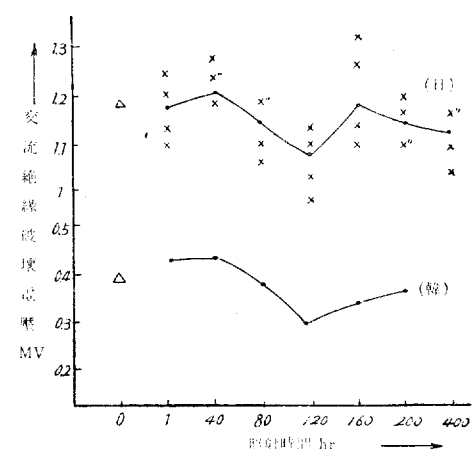


그림 3 交流絶縁破壊電圧과 照射時間의 관계

Fig. 3. Relation between AC breakdown voltage and  $\gamma$  ray irradiated time

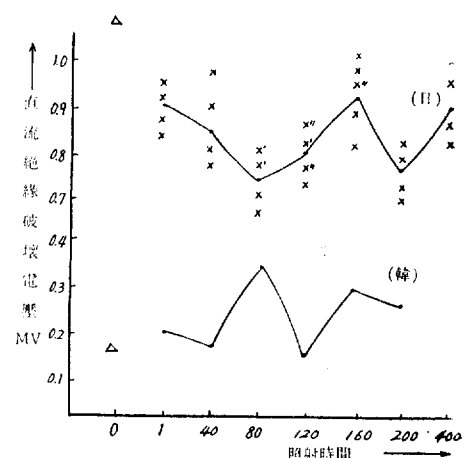


그림 4 直流絶縁破壊電圧과 照射時間의 관계

Fig. 4. Relation between DC breakdown voltage and  $\gamma$  ray irradiated time.

다음 吸收線量率을 一定하게 하고 照射時間 을 變化시켜 가며 역시 試料 두께의 偏差를 고려하지 않고 絶緣破壞試驗에 依한 絶緣破壞值을 plot 한 것이 그림 3 그림 4이다.

日產 mica paper 의 두께偏差는  $\pm 0.015\text{mm}$  인 데 比하여 韓國產 mica paper 는 그偏差가 심하여  $\pm 0.032\text{mm}$  이었다. 그리고 각 試料에 對하여 micrometer 로써 精密하게 그 두께를 測定하고 1cm 當 平均 絶緣破壞值를 求하여 이것의 計算值을 각각에 對하여 plot 한 것이 그림 5, 그림 6, 그림 7, 그림 8이다.

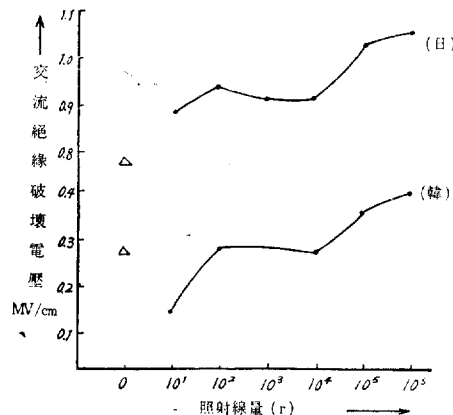


그림 5 交流絶緣破壊電壓과 照射線量의 관계

Fig. 5. Relation between AC breakdown voltage and  $\gamma$  ray irradiated dose

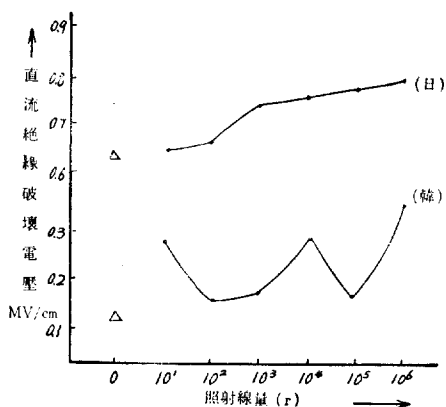


그림 6 直流絶緣破壊電壓과 照射線量의 관계

Fig. 6. Relation between DC breakdown voltage and  $\gamma$  ray irradiated dose.

그림 5 와 그림 6에서 보는 바와 같이 照射時間 을 一定하게 하고 吸收線量을 增加시켜 가면 破壊電壓이 上昇하고 있으며 直流破壊值보다는 交流破壊值가 높은 現象이 나타나고 있다. 또  $2 \times 10^6 \text{ rad}$ 로 照射한 試料에서는 非照射材料보다 약 3KV 程度의 絶緣破壊值가 높아진結果가 얻어졌다. 또 吸收線量率을  $2 \times 10^5 \text{ rad}$ 로 一定

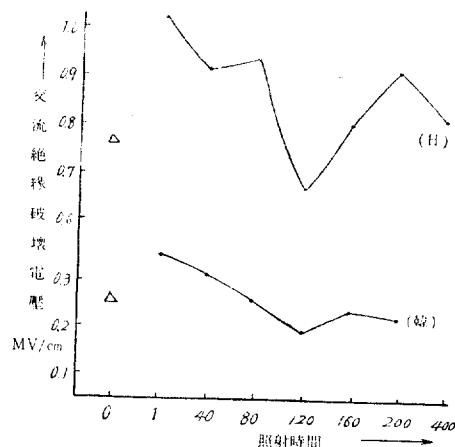


그림 7 交流絶緣破壊電壓과 照射時間의 관계

Fig. 7. Relation between AC breakdown voltage and  $\gamma$  ray irradiated time.

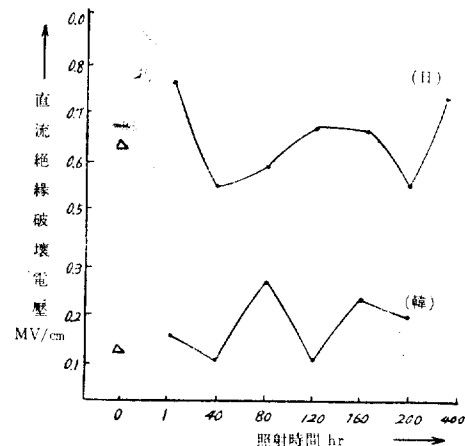


그림 8 直流絶緣破壊電壓과 照射時間의 관계

Fig. 8. Relation between DC breakdown voltage and  $\gamma$  ray irradiated time.

하게 하고 照射時間 을 變化시켜 가면서 각 mica paper 에 대한 두께偏差를 考慮한 絶緣破壊值曲線인 그림 7 과 그림 8에서는 時間의 變化와 더불어 破壊值가 甚한 cycling 을 이루는 現象을 보이고 있다. 一定한 照射時間 으로 吸收線量率을 變化시켰을 때와 一定한 吸收線量率로 照射時間を 變化시켰을 때의 交流絶緣破壊值와 直流絶緣破壊值의 比較를 그림 9 와 그림 10에 圖示하였다.

衝擊電壓에 對한 實驗에서는 衝擊電壓波의 波頭幅은  $1.5\mu\text{s}$  이고 波尾幅이  $50\mu\text{s}$  되는 一定한 波形의 Impulse 를 加하였으며 絶緣破壊될 隣간의 비가지 波高值를 그림 11에 圖示하였다. 이 때의 大氣狀態는  $11^\circ\text{C}$ (乾) 9.  $5^\circ\text{C}$ (濕)  $764.5\text{mmHg}$  空氣密度  $\sigma=1.09$  이고 破壊될 隣

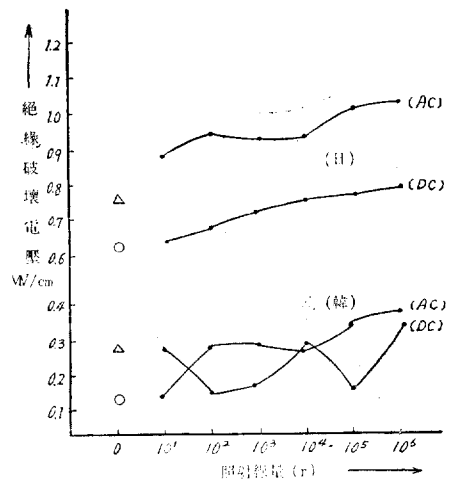


그림 9 絶縁破壊電圧과 照射線量의 관계

Fig. 9. Relation between breakdown voltage and  $\gamma$  ray irradiated dose.

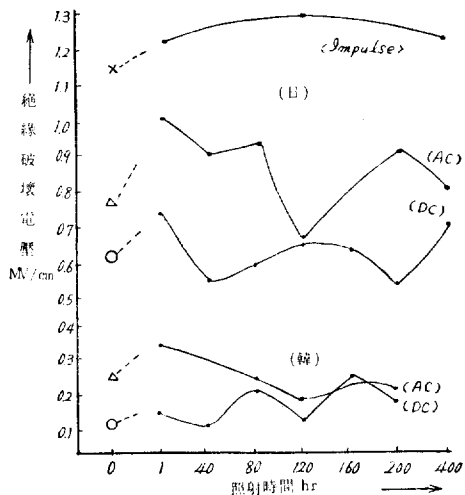


그림 10 絶縁破壊電圧과 照射時間의 관계

Fig. 10. Relation between breakdown voltage and  $\gamma$  ray irradiated time.

간의 放電現象과 Impulse 波形을 사진 1, 2에 圖示하였다.

誘電率測定에서는 吸收線量과 照射時間의 變化에 對한 각각의 誘電率 變化범위는 겨우  $\pm 0.2$  内外에 不過하며 거의 一定하다고 볼 수 있으며 그림 12, 그림 13에 그의 特性을 圖示하였다.

### (3) 理論的考察

앞의 特性變化曲線 (그림 1~11)에서 보는 바와 같이  $\gamma$ 線 照射量이 大를수록 絶縁破壊強度가 稍上昇하여 가는 것은 傳導荷電子의 trap作用에 因한 것 같다. 元

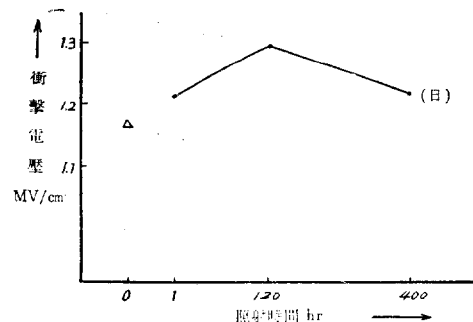


그림 11 衝擊電壓과 照射時間의 관계

Fig. 11. Relation between breakdown voltage to impulse voltage and  $\gamma$  ray irradiated time.

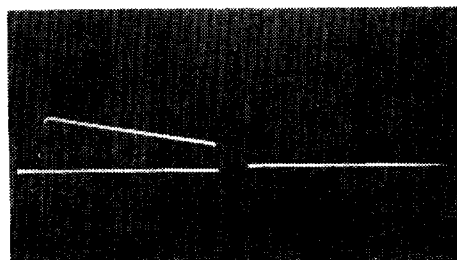


사진 1 衝擊波形

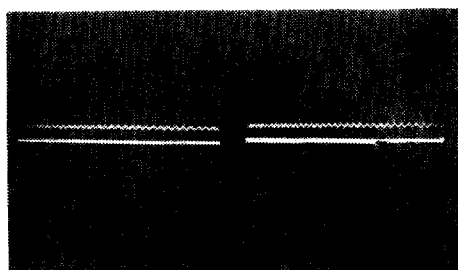


사진 2 放電現象

來 mica 等의 非照射, 非晶質誘電體는 둑께 効果等이 나타나는 것을 보아 不純物 電子의 相互作用에 依한 勵起와 Fröhlich 氏의 電子熱破壞理論에 依한 热에너지에 依한 ion 化와 Whitehead 氏에 依한 電子의 衝突電離作用이 重疊되는 것으로 생각되나  $\gamma$ 線 照射에 依하여 생긴 여러 缺陷들이 傳導荷電子를 trap 하여 그 結果 陰極前電荷를 弱하게 함으로써 破壞強度가 上昇해 가는 것으로 본다.

또 誘電率의 放射線効果는 다음과 같이 考察할 수가 있다. 即 mica paper 自體가 非晶質의 複合體이기 때문에 空間電荷가 蓄積하여 吸收電流와 誘電分散이 일어나기 쉬울 것이나 放射線에 依해 이들 空間電荷層等이 여러 곳에서 한덩어리로 aggregate 되어서 放射線効果가 나타나지 않는 것이라고 생각할 수 있고 또한 微少하고 不規則한 變動은 電極과 絶縁材料와의 接觸狀態의 變化가 原因이 되리라 생각되며 또한 大氣中에서 放射線을

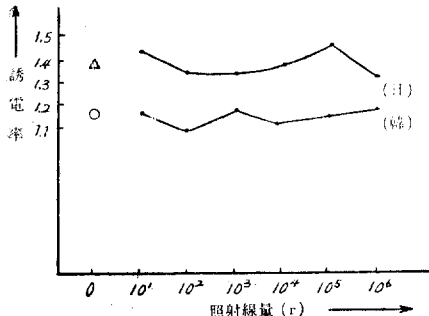


그림 12 誘電率과 照射線量의 관계

Fig. 12. Relation between dielectric constant and roentgen irradiated dose.

照射하는 동안 酸化(表面酸化)로 因한 原因도 少少作用이 되겠으나 그렇게 큰 差異가 없는 것은 照射에 依하여 形成된 物理的 量이 双極性의 것이 아니고 또 微量의 生成物形態이 結晶全體의 性質變化에 미치지 못하는 결과라 보겠다.

上記의 것에 對한 詳細한 檢討는 絶緣破壞의 time lag, 溫度特性, 電壓電流特性 및  $\alpha$ (荷電子의 電離係數)의 實測等을 通하여 後에 綜合的인 檢討를 加해서 報告할 예정이다.

#### (4) 實驗裝置 및 試料

##### (a) 試 料

여러가지 B種 絶緣材料中 天然固體無機質인 mica는 热的, 化學的 및 電氣的性質이 良好할뿐 아니라 溫度急變에 견디는 性質이 있어 整流子 segment 및 電熱機器의 絶緣 等 B種 絶緣材料로 널리 使用되고 있다. 그러나 現在 B種 絶緣材料로 使用하고 있는 日產 Hitachi製 mica 와 韓國產 金剛會社製 mica 두 種類를 試料로 擇하였다.

##### (b) $\gamma$ 線 照射裝置

60Co 800 Curie 在 韓國原子力研究所의  $\gamma$  線 照射裝置를 이용하였고 線量은 吸收單位인 rad를 擇하여 大氣中에서 照射하고 線量率은 ion chamber로 測定되었음 되어 있다.

##### (c) 絶緣破壞試驗

商用周波數인 交流電壓과 直流電壓 그리고 衝擊電壓 등 세 가지에 對하여 絶緣破壞電壓試驗을 實行하였고, 그裝置는 利川電機株式會社와 韓國電力試驗所의 것을 主로 利用하였다.

直流破壞電壓에는 美 Associated Research Internation

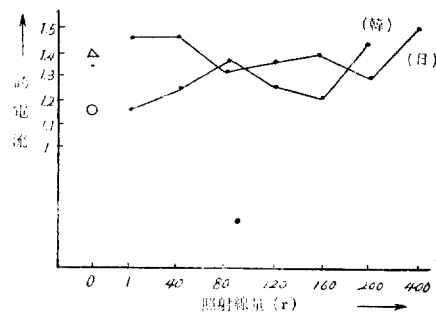


그림 13 誘電率과 照射時間의 관계

Fig. 13. Relation between dielectric constant and roentgen irradiated dose.

製 D.C. HYPOT (115V/75KV 2.5MA)를 使用하고 交流破壞電壓에는 日本 芝浦製 AC 絶緣破壞裝置를 이용, 시험用變壓器 (15KVA 60~200V/400~30KV)이다.

Impulse 試驗은 Tokyo Trans Co. LTD 製 高壓裝置를 使用했다. Impulse 電壓을 加하여 絶緣破壞될 隨間의 放電現象 포착은 Cannon X-ray Camera를 使用하였다.

##### (d) 誘電率의 測定裝置

이를 測定하기 為한 計器 및 道具는 다음과 같다.

Tektronix 製 LC Meter 와

Yokogawa 製 Test jig for dielectric

### 〔3〕 結 論

(1) 照射時間을 一定하게 하고 吸收線量率을 變化시키는 方法에서는 mica paper의 絶緣破壞值가 上昇되고 있으니 品質改善으로 放射線利用의 價値가 있겠다.

(2) 吸收線量率을 一定하게 하고 照射時間을 變化시키는 과정에서는 絶緣破壞值가 不規則한 增減을 보이고 있는데 原子爐 및 Isotope의 利用裝置에 쓰여지고 있는 電氣計器, 電線等 電氣設備의 絶緣材料는 오태도록 放射線場에 놓여지므로 放射線損傷의 문제로 取扱하여 유의 검토해야 야겠다.

(3) 誘電率은 線量增加에 關係없이 거의 變化를 보이지 않고 있다.

(4) mica paper에  $\gamma$  線을  $2 \times 10^5$  rad로 400hr 까지 照射시켜도 變色을 ی육안으로 볼 수 없었다.

### 참 고 문 헌

1) Dekker: Electrical Engineering Material p. 23~28

- 2) Kopelman: Material for Nuclear Reactor (1959) p. 240  
 3) Van Vlack: Elements of Material Science (1959) p. 429~443  
 4) Whitehead: Dielectric Breakdown of Solid (1951) p. 48  
 5) Sears: Electricity and Magnetism (1958) p. 170  
 6) 鳩山道夫: 物性工學 p. 94~144
- 7) 物理測定技術: 結晶解析 p. 103, p. 227  
 8) 物理測定技術: 放射線測定 p. 8~12, p. 233  
 9) 電氣學會: 放電現象 p. 78, p. 169, p. 179  
 10) 電氣學會: 高電壓工學 p. 267  
 11) 電氣學會: 電氣材料 p. 121  
 12) 電氣學會: JEC—150 (1960) p. 1  
 13) 日本電氣學會誌: 1961—p. 1077, 2100, 1962—p. 1909

(38p 에서 계속)

+0.70	99.06	1.038	-0.205	-222.0	"	-11.10	36.13	"	1.80	100.86
+0.75	100.86	1.031	-0.198	-214.0	"	-10.70	25.43	"	1.27	102.13
+0.80	102.13	1.025	-0.193	-208.2	"	-10.42	15.01	"	0.75	102.88
+0.85	102.88	1.023	-0.190	-205.5	"	-10.25	4.71	"	0.24	103.12
+0.90	103.12	1.021	-0.187	-202.0	"	-10.10	-5.34	"	-0.27	102.85
+0.95	102.85	1.021	-0.187	-202.0	"	-10.10	-15.44	"	-0.77	102.08

註 本表를 圖示하면 그림 7.13 圖와 같다.



## 會 員 에 게 알 릴

今般 本學會 1969 年度 및 1970 年度의 會長團과 新任理事名單이 아래와 같이 改選되었기에 알려드립니다.

아 해

會長 禹亨疇

副會長 韓萬春 辛基祚

理事 尹日重, 金鍾秀, 李宗日, 丁性桂, 李承院, 池根, 李在淑, 朴旻鎬, 廉道有, 梁興錫, 金鍾珠, 鄭樂殷, 姜錫圭, 吳相世, 李允鍾, 金善集,

朴容澈, 金俊植, 成瓊鏞, 成樂正, 楊在義, 徐錫仁, 崔大賢, 石晚基, 權永準, 金逗, 金在信, 吳宗煥, 吳相璣, 申龍徹, 玄京鎬, 成英權, 尹泰允, 李晚緒, 金海洙

監事: 韓甲鎬, 趙載斗

## 會 員 動 靜

■ 本學會 姜錫圭 會計理事: 그간 계회하여 오는 教育機關으로서 大成學園의 (大成中學校)을 설립하여 지난 3月 3日 開校式을 가지고, 同財團理事長에 就任.

■ 吳相世 理事(延世大 教授): 延世大學校理工大學電氣工學科 科長으로 補任.

■ 吳相璣 理事(前韓電技術役): 湖南電力常務理事로 就任.